

# Резонансная флуоресценция гамма-излучения в режиме когерентного перемешивания мессбауэровских подуровней

© Э.К. Садыков, А.А. Юричук, В.В. Аринин

Казанский государственный университет,  
420008 Казань, Россия

E-mail: esad@ksu.ru

(Поступила в Редакцию 18 июня 2002 г.)

Разработан метод расчета спектра резонансной флуоресценции когерентного гамма-излучения конечной ширины, когда подуровни основного состояния ядра связаны сильным полем. В этом случае на форму спектров существенное влияние оказывают как эффекты когерентности, индуцируемой в системе сильным полем, так и конечная ширина гамма-излучения. Полученные здесь и ранее результаты стимулируют экспериментальное исследование когерентности квантовой системы и квантовой интерференции на мессбауэровских гамма-переходах путем возбуждения когерентной динамики намагниченности или оптической подсистемы в твердых телах.

Работа поддержана грантами Российского фонда фундаментальных исследований № 01-02-17502, НИОКР РТ № 06-6.1-21/2001 (Ф), CRDF NREC 007, УР.02.01.021.

Мессбауэровская спектроскопия когерентно возбужденного состояния вещества [1,2] остается актуальной областью исследования. В последние годы, например, изучаются эффекты квантовой интерференции на мессбауэровских переходах, возникающие в режиме когерентного возбуждения системы и представляющие интерес в качестве возможного механизма достижения режима безынерсного усиления гамма-излучения [3–6]. В недавней работе [7] мы обратили внимание на существенную роль когерентности и квантовой интерференции в процессе резонансной флуоресценции гамма-излучения. Соотношение интенсивностей спектральных линий, переизлученных через подуровни возбужденного состояния ядра, когда эти подуровни связаны сильным радиочастотным (РЧ) или лазерным излучением, оказалось весьма чувствительным к форме спектра гамма-излучения, используемого в качестве накачки. Рассмотренный в [7] случай может быть сопоставлен с  $\Sigma$ - или  $\Lambda$ -схемой воздействия двух когерентных полей на трехуровневую систему (согласно принятой в оптике классификации [8,9]), хотя в рамках нашей модели с участием двух полей (гамма-излучение и сильное, например оптическое поле), отличающихся правилами отбора, такая классификация не исчерпывает всех возможных схем эксперимента. В данной работе мы также изучаем процесс резонансной флуоресценции гамма-излучения, но теперь рассматривается случай, когда сильное поле действует на подуровни основного состояния ядра ( $V$ -схема). В работе [7] мы констатировали, что для  $\Sigma$ -схемы измерение соотношения интенсивностей линий в спектре рассеяния является более эффективным методом изучения интерференционных явлений (наведенной в системе когерентности), чем анализ формы спектра рассеяния. Напротив, в случае  $V$ -схемы именно форма спектра рассеяния дает информацию о когерентности в системе. Вид спектра рассеяния, как и в [7] во многом определяется характеристиками гамма-излучения накачки.

## 1. Метод расчета

Рассмотрим трехуровневую  $V$ -схему, представленную на рис. 1. Уровни 1 и 2 могут быть связаны РЧ- или оптическим излучением, уровни 1 и 3, а также 2 и 3 — гамма-излучением.

Уравнение для матрицы плотности этой системы в представлении взаимодействия имеет вид

$$\frac{d\hat{\rho}'}{dt} = -\frac{i}{\hbar} [\hat{H}'\hat{\rho}'] + \Lambda\hat{\rho}'. \quad (1)$$

В этом уравнении гамильтониан  $\hat{H}'$  определяется следующим образом:

$$\hat{H}' = \exp(i\hat{H}_0t/\hbar)(\hat{H}^d + \hat{H}^p)\exp(-i\hat{H}_0t/\hbar), \quad (2)$$

где  $\hat{H}_0$ ,  $\hat{H}^d$  и  $\hat{H}^p$  — нулевой гамильтониан, сильное РЧ-поле (либо лазерное излучение) и поле накачки

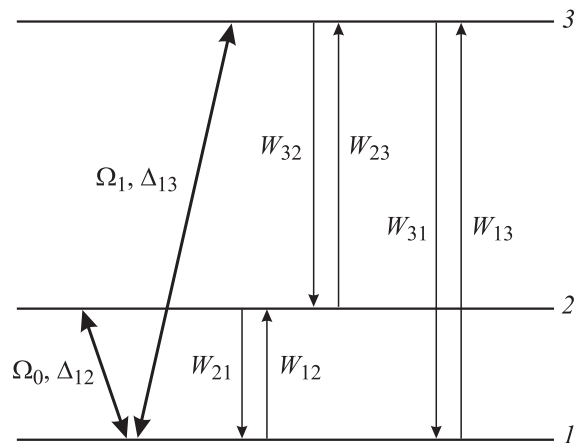


Рис. 1.  $V$ -схема.  $W_{ij}$  — параметры, характеризующие некогерентную накачку ( $W_{13}$ ,  $W_{23}$ ), спонтанный распад ( $W_{31}$ ,  $W_{32}$ ) и релаксацию ( $W_{12}$ ,  $W_{21}$ ).

Трехуровневая V-схема. Матрица  $\mathbf{L}$  и вектор  $\mathbf{I}$ .  $\Gamma_{12} = (W_{12} + W_{13} + W_{21} + W_{23})/2 + i\Delta_{12}$ ,  $\Gamma_3 = (W_{12} + W_{13} + W_{31} + W_{32})/2 + i\Delta_{13}$ ,  $\Delta_{23} = (W_{21} + W_{23} + W_{31} + W_{32})/2 + i(\Delta_{13} - \Delta_{12})$

	1	2	3	4	5	6	7	8	$\mathbf{I}$
1	$-\Gamma_{12}$	0	0	$-2i\Omega_0^*$	0	0	$-i\Omega_1^*$	$-i\Omega_0^*$	$i\Omega_1^*$
2	0	$-\Gamma_{13}$	0	$-i\Omega_1^*$	$-i\Omega_0^*$	0	0	$-2i\Omega_1^*$	$i\Omega_1^*$
3	0	0	$-\Gamma_{12}^*$	$2i\Omega_0$	$i\Omega_1$	0	0	$i\Omega_0$	$-i\Omega_0$
4	$-i\Omega_0$	0	$i\Omega_0^*$	$-(W_{12} + W_{21} + W_{23})$	0	0	0	$-(W_{12} - W_{32})$	$W_{12}$
5	0	$-i\Omega_0$	$i\Omega_1^*$	0	$-\Gamma_{23}$	0	0	0	0
6	0	0	0	$i\Omega_1$	0	$-\Gamma_{13}^*$	$i\Omega_0$	$2i\Omega_1$	$-i\Omega_1$
7	$-i\Omega_1$	0	0	0	0	$i\Omega_0^*$	$-\Gamma_{23}^*$	0	0
8	0	$-i\Omega_1$	0	$W_{23} - W_{13}$	0	$i\Omega_1^*$	0	$-(W_{31} + W_{32} + W_{13})$	$W_{13}$

соответственно. Согласно [8,9].

$$\hat{H}_0 = \hbar \sum_{i=1}^3 \varepsilon_i \hat{a}_i^+ \hat{a}_i, \quad (3)$$

$$\hat{H}^d = \hbar \Omega_0 \exp(-i\omega_0 t) \hat{a}_2^+ \hat{a}_1 + \hbar \Omega_0^* \exp(i\omega_0 t) \hat{a}_1^+ \hat{a}_2, \quad (4)$$

$$\hat{H}^p = \hbar \left[ \Omega_1 \exp(i\theta(t)) \hat{a}_3^+ \hat{a}_1 \exp(-i\omega_1 t) + \Omega_1^* \exp(-i\theta(t)) \hat{a}_1^+ \hat{a}_3 \exp(i\omega_1 t) \right]. \quad (5)$$

Здесь  $\hat{a}_i$  и  $\hat{a}_i^+$  — операторы Ферми,  $\Omega_0$  и  $\Omega_1$  — амплитуды сильного поля и поля накачки, умноженные на соответствующие матричные элементы переходов.

В выражении (5) предполагается флуктуация фазы поля накачки;  $\theta(t)$  — случайная функция, подчиняющаяся процессу Винера–Леви. Форма линии такого поля эквивалентна лоренцевой линии с шириной  $2D$ , определяемой соотношением [10,11]

$$\langle \dot{\theta}(t) \dot{\theta}(t') \rangle = 2D \delta(t - t'). \quad (6)$$

Прежде чем решить уравнение (1) с взаимодействием (5), запишем решение этого уравнения, когда во взаимодействии (5) флуктуации отсутствуют (см. [8])

$$\frac{d}{dt} \Psi = \mathbf{L} \Psi + \mathbf{I}. \quad (7)$$

Здесь  $\mathbf{L}$  и  $\mathbf{I}$  — постоянные матрица и вектор (см. таблицу), зависящие от  $\Omega_0$ ,  $\Omega_1$  и параметров необратимых процессов (второе слагаемое в уравнении (1)),  $\Psi$  — вектор-столбец со следующими компонентами:

$$\begin{aligned} \Psi_1 &= \rho'_{12} \exp(-i\Delta_{12}t), & \Psi_2 &= \rho'_{13} \exp(-i\Delta_{13}t), \\ \Psi_3 &= \rho'_{21} \exp(i\Delta_{12}t), & \Psi_4 &= \rho'_{22}, \\ \Psi_5 &= \rho'_{23} \exp(i(\Delta_{12} - \Delta_{13})t), & \Psi_6 &= \rho'_{31} \exp(i\Delta_{13}t), \\ \Psi_7 &= \rho'_{32} \exp(i(\Delta_{13} - \Delta_{12})t), & \Psi_8 &= \rho'_{33}. \end{aligned} \quad (8)$$

В этих соотношениях  $\Delta_{12} = \omega_0 - \varepsilon_2 + \varepsilon_1$  и  $\Delta_{13} = \omega_1 - \varepsilon_3 + \varepsilon_1$  — расстройки частот  $\omega_0$  и  $\omega_1$  относительно их резонансных значений. Далее все частоты даны

в единицах  $W_{31}$  и при расчетах принято  $\varepsilon_2 - \varepsilon_1 = 30$  (рис. 1).

Как показано в работе [8], именно решения уравнений (7) позволяют вычислить корреляционные функции для операторов поляризации и далее спектр спонтанного излучения и поглощения пробного излучения.

Спектр спонтанного излучения, например, на переходе  $j \rightarrow i$  является фурье-образом двухвременной корреляционной функции

$$\gamma(\tau_1, \tau_0) \propto \langle \hat{P}^{(-)}(\tau_1) \hat{P}^{(+)}(\tau_0) \rangle, \quad (9)$$

где  $\hat{P}^{(+)} = \mu_{ij} \hat{a}_i^+ \hat{a}_j$  — положительная часть оператора поляризации.

Для вычисления (9) используется теорема квантовой регрессии. Вначале вычислим одновременное среднее через решения уравнений (7)

$$\begin{aligned} \langle \hat{P}^{(-)}(\tau_1) \rangle &= \text{Tr}[\mu_{ij} \hat{a}_j^+ \hat{a}_i \hat{\rho}] = \mu_{13} \exp(i\omega_1 \tau_1) \Psi_2(\tau_1) \\ &+ \mu_{23} \exp(i\omega_1 \tau_1 - i\omega_0 \tau_1) \Psi_5(\tau_1). \end{aligned} \quad (10)$$

Если в (1) включено взаимодействие (5) с полем с флуктуирующей фазой, структура уравнения (7) существенно меняется,

$$\frac{d}{dt} \Psi' = [\mathbf{L} - i\dot{\theta}(t)\mathbf{L}'] \Psi' + \mathbf{I} \exp(-i\dot{\theta}(t)). \quad (11)$$

Теперь необходимые для вычисления (10) величины  $\Psi_2(\tau_1)$  и  $\Psi_5(\tau_1)$  образуют вектор  $\Psi'$  ( $\Psi_1^-$ ,  $\Psi_2$ ,  $\Psi_3^-$ ,  $\Psi_4^-$ ,  $\Psi_5$ ,  $\Psi_6^-$ ,  $\Psi_7^-$ ,  $\Psi_8^-$ ), компоненты которого в свою очередь определяются через (8),

$$\begin{aligned} \Psi_i^- &= \Psi_i \exp(-i\theta(t)), & \Psi_i^+ &= \Psi_i \exp(i\theta(t)), \\ \Psi_i^{--} &= \Psi_i \exp(-2i\theta(t)). \end{aligned} \quad (12)$$

Матрица  $\mathbf{L}$  и вектор  $\mathbf{I}$  в (11) — те же, что и в (7). Диагональная матрица  $\mathbf{L}'$  имеет следующие ненулевые элементы:  $L'_{6,6} = L'_{7,7} = -2$ ,  $L'_{1,1} = L'_{3,3} = L'_{4,4} = L'_{8,8} = -1$ .

Уравнение (11) — стохастическое дифференциальное уравнение. После усреднения по стохастическим переменным оно принимает следующий вид [10,11]:

$$\begin{aligned} \frac{d}{dt} \langle \Psi' \rangle &= [\mathbf{L} - D(\mathbf{L}')^2 \langle \Psi' \rangle + \mathbf{I} \langle \exp(-i\theta(t)) \rangle] \\ &= \mathbf{L}_1 \langle \Psi' \rangle + \mathbf{I} \langle (-i\theta(t)) \rangle. \end{aligned} \quad (13)$$

Решение этого уравнения можно записать следующим образом (далее опускаем знак стохастического усреднения для величин  $\Psi'$ ):

$$\Psi'(\tau_1) = \exp[\mathbf{L}_1(\tau_1 - \tau_0)] \Psi'(\tau_0) + \int_{\tau_0}^{\tau_1} d\tau' \exp[\mathbf{L}_1(\tau_1 - \tau')] \mathbf{I} \langle \exp(-i\theta(\tau')) \rangle. \quad (14)$$

Производя замену переменных  $\tau = \tau_1 - \tau_0$  и  $\tau'' = \tau' - \tau_0$  с учетом  $\langle \exp(-i\theta(\tau')) \rangle = \exp(-D(\tau' - \tau_0)) \times \langle \exp(-i\theta(\tau_0)) \rangle$ , получаем

$$\begin{aligned} \Psi'(\tau) &= \exp[\mathbf{L}_1\tau] \Psi'(\tau_0) + \int_0^{\tau} d\tau'' \exp[\mathbf{L}_1(\tau - \tau'')] \\ &\quad \times \exp(-D\tau'') \mathbf{I} \langle \exp(-i\theta(\tau_0)) \rangle \\ &= \exp[\mathbf{L}_1\tau] \Psi'(\tau_0) + \frac{\exp(\mathbf{L}_1\tau) - \exp(-D\tau)}{\mathbf{L}_1 + D} \\ &\quad \times \mathbf{I} \langle \exp(-i\theta(\tau_0)) \rangle. \end{aligned} \quad (15)$$

Под  $D$  следует понимать число  $D$ , умноженное на единичную матрицу того же порядка, что и  $\mathbf{L}$ .

Величины  $\Psi'_j(\tau_0)$  можно представить с помощью системных операторов в момент времени  $\tau = \tau_0$ . Например,

$$\begin{aligned} \Psi'_2(\tau_0) &= \langle \exp(-i\omega_1\tau_0) \rho_{13}(\tau_0) \rangle \\ &= \langle \exp(-i\omega_1\tau_0) \langle |3\rangle \langle 1|_{\tau_0} \rangle \rangle. \end{aligned} \quad (16)$$

Двухвременное среднее  $\langle \langle \hat{P}^{(-)}(\tau_1) \hat{P}^{(+)}(\tau_0) \rangle \rangle$  (см. (9)), которое теперь подвергается также стохастическому усреднению, может быть вычислено с помощью квантовой теоремы регрессии из  $\langle \langle \hat{P}^{(-)}(\tau_1) \rangle \rangle$  заменой  $\langle \langle |i\rangle \langle j|_{\tau_0} \rangle \rangle$  и  $\langle \exp(-i\theta(\tau_0)) \rangle$  на  $\langle \langle |i\rangle \langle j| \hat{P}^{(+)}(\tau_0) \rangle_{\tau_0} \rangle$  и  $\langle \exp(-i\theta(\tau_0)) \hat{P}^{(+)}(\tau_0) \rangle$  соответственно. При такой замене появляются переменные, которые не входят в вектор  $\Psi'$ . Для их нахождения составим вектор  $\Psi''$  ( $\Psi_1, \Psi_2^+, \Psi_3, \Psi_4, \Psi_5^+, \Psi_6^-, \Psi_7^-, \Psi_8$ ), который удовлетворяет следующему матричному уравнению:

$$\frac{d}{dt} \langle \Psi'' \rangle = [\mathbf{L} - D(\mathbf{L}'')^2] \langle \Psi'' \rangle + \mathbf{I} = \mathbf{L}_2 \langle \Psi'' \rangle + \mathbf{I}. \quad (17)$$

Здесь  $\mathbf{L}''$  — диагональная матрица со следующими ненулевыми элементами:  $L''_{2,2} = L''_{5,5} = 1$ ,  $L''_{6,6} = L''_{7,7} = -1$ .

Поскольку мы рассматриваем стационарный случай (установившийся режим), необходимо асимптотическое решение уравнения (17). В связи с этим переходим к пределу  $\tau_0, \tau_1 \rightarrow \infty$  таким образом, чтобы разность  $\tau = \tau_1 - \tau_0$  оставалась конечной.

Далее осуществим преобразование Лапласа над искомой корреляционной функцией (9). Спектр излучения пропорционален вещественной части полученного выражения

$$S(\omega) \propto S_1(\omega) + S_2(\omega), \quad (18)$$

где

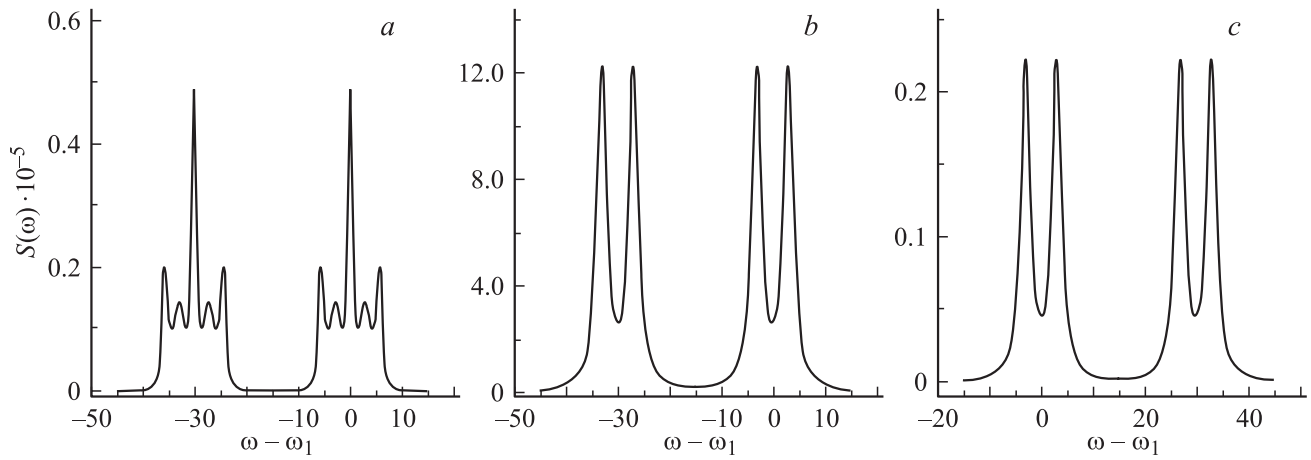
$$\begin{aligned} S_1(\omega) &= \text{Re} \left[ \sum_{j=1}^2 M_{2j}(z_1) \Psi''_{j+6}(\infty) + \sum_{j=1}^8 N_{2j}(z_1) I_j \Psi''_6(\infty) \right], \\ S_2(\omega) &= \text{Re} \left[ \sum_{j=3}^5 M_{5j}(z_2) \Psi''_{j+3}(\infty) + \sum_{j=1}^8 N_{5j}(z_2) I_j \Psi''_7(\infty) \right]. \end{aligned}$$

Здесь введены следующие обозначения:  $\mathbf{M}(z) = (\mathbf{z} - \mathbf{L}_1)^{-1}$ ,  $\Psi''(\infty) = \mathbf{L}_2^{-1} \mathbf{I}$ ,  $\mathbf{N}(z) = (\mathbf{L}_1 + \mathbf{D})^{-1} \times [(\mathbf{z} - \mathbf{L}_1)^{-1} - (\mathbf{z} + \mathbf{D})^{-1}]$ ;  $\mathbf{z}$  получается умножением  $z$  на единичную матрицу размерности  $\mathbf{L}$ ,  $z_1 = i(\omega - \omega_1)$ ,  $z_2 = i(\omega - (\omega_1 - \omega_0))$ .

Известно, что резонансную флуоресценцию когерентного излучения в двухуровневом приближении можно представить суммой несмещенного и смещенного рассеяния [12] (с дельтообразным спектром и спектром конечной ширины соответственно). Дельтообразная линия в спектре рассеяния появляется и при когерентной накачке трехуровневой схемы (на переходе 1–3 на рис. 1). Алгоритм численных расчетов в [8,9], естественно, не включал подобные линии и описывал только спектр смещенной компоненты рассеяния. Такая методика соответствовала характеру задачи, поставленной в работах [8,9], где изучалось влияние эффектов квантовой интерференции на форму спектральных линий. Необходимо помнить также, что результаты таких вычислений должны быть сопоставлены экспериментальным данным за вычетом несмещенной компоненты рассеяния (см., например, [13]). При накачке линией конечной ширины спектр рассеяния не содержит более дельтообразного вклада и соответствует непосредственно наблюдаемому спектру. В этом состоит главная особенность модифицированной в настоящей работе (и в [7]) методики. При формальной подстановке  $D = 0$  эта методика сводится к алгоритму вычислений [8,9].

## 2. Анализ результатов

Нас интересует влияние когерентного перемешивания состояний 1 и 2 (рис. 1) на спектр резонансного рассеяния гамма-излучения на переходе 1–3. Форма спектра зависит от ширины линии накачки  $D$ . Ожидаемый в общем случае спектр резонансного рассеяния  $S = S_1 + S_2$  приведен на рис. 2, а. Здесь и далее мы пренебрегаем различием угловых зависимостей интенсивностей переходов 3–1 ( $S_1$ ) и 3–2 ( $S_2$ ). Пятикомпонентная форма  $S_1$  и  $S_2$  обусловлена, по-видимому, как когерентностью, созданной в системе когерентным полем  $\Omega_0$ , так и когерентностью (частичной) поля накачки. В обоснование вышесказанного обратимся к спектрам, рассчитанным в предположении некогерентной накачки ( $W_{13} \neq 0$ ,  $\Omega_1 = 0$ , рис. 2, б) и в случае когда  $D$  велико ( $W_{13} = 0$ ,  $\Omega_1 \neq 0$ , рис. 2, в). В обоих случаях спектры представляют собой два дублета для переходов  $3 \rightarrow 1$  и  $3 \rightarrow 2$  с лоренцевыми линиями единичной ширины (в принятых



**Рис. 2.** Спектры резонансного рассеяния  $S = S_1 + S_2$ . *a* —  $\Omega_1 = 0.01$ ,  $\Omega_0 = 3$ ,  $\Delta_{13} = \Delta_{12} = 0$ ,  $W_{31} = W_{32} = 1$ ,  $W_{21} = W_{12} = 0.1$ ,  $D = 0.5$ ; *b* —  $W_{13} = 0.01$ ,  $\Omega_1 = 0$ ,  $\Omega_0 = 3$ ,  $\Delta_{13} = \Delta_{12} = 0$ ,  $W_{31} = W_{32} = 1$ ,  $W_{21} = W_{12} = 0.1$ ; *c* — то же, что для *a*, при  $D = 10$ .

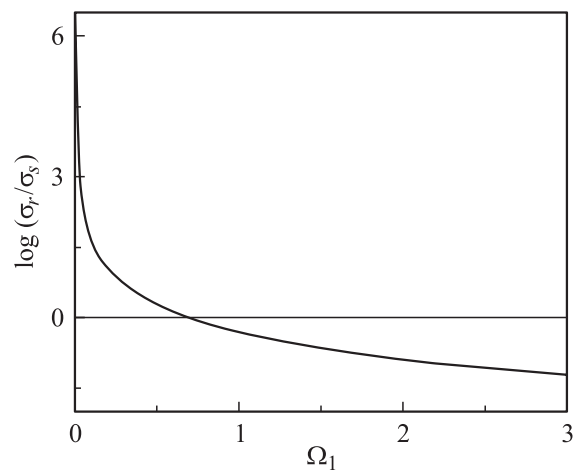
единицах), сдвинутыми относительно центров дублетов на частоту Раби ( $\pm\Omega_0$ ). Этот результат, согласно [14], свидетельствует о роли когерентности, индуцируемой в системе полем  $\Omega_0$ , но не о квантовой интерференции на гамма-переходе. Сравнение спектров, представленных на рис. 2, *a–c*, позволяет заключить, что дополнительная триплетная структура на рис. 2, *a*, скорее всего, есть результат когерентности (а следовательно, и монохроматичности) излучения накачки. Экспериментальное наблюдение структуры спектра рассеяния, представленной на рис. 2, *a*, на наш взгляд можно осуществить средствами обычной мессбауэровской спектроскопии, используя метод, предложенный в [15], в режиме индуцирования в системе сильного поля  $\Omega_0$  [2,4,5]. Значения параметров модели, использованные при расчете спектра, показанного на рис. 2, *a*, соответствуют именно этому случаю. Наблюдение вычисленных форм спектра в мессбауэровских экспериментах означало бы особую роль мессбауэровского излучения в исследовании эффектов когерентности и квантовой интерференции на гамма-спектроскопических переходах, поскольку когерентные источники излучения в этом диапазоне отсутствуют.

Более полное понимание процесса формирования спектра (рис. 2, *a*) достигается при вариации параметров описанной выше модели.

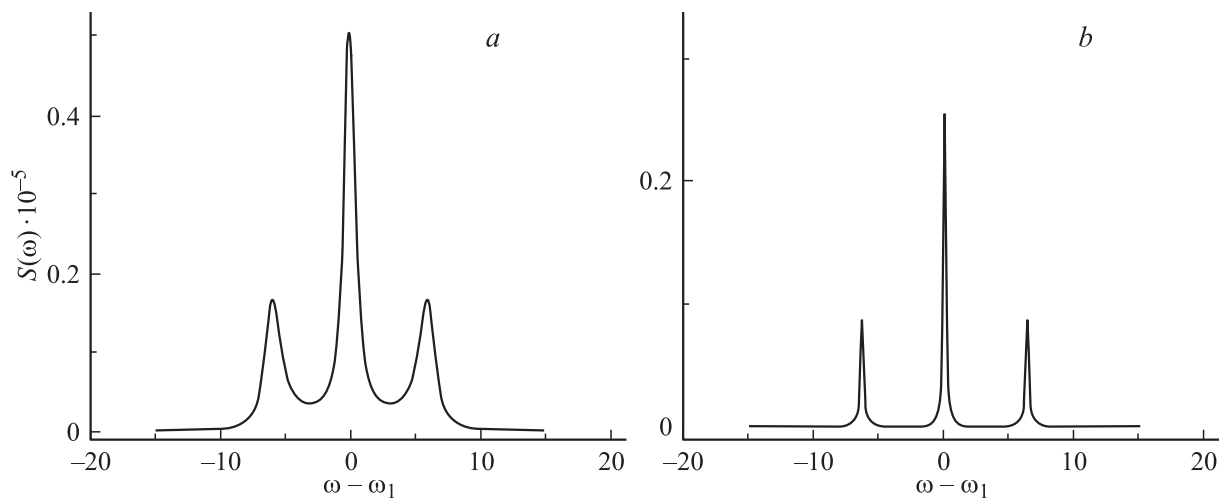
Условия  $W_{32} = 0$ ,  $\Omega_0 = 0$ ,  $D = 0$  совпадают с условиями классической модели Моллоу [16], впервые рассмотревшего двухуровневую систему в сильном поле и существенное изменение при этом формы спектральных линий. Основным результатом [16] состоит в том, что рассеяние когерентного излучения  $\Omega_1$  (здесь и далее до особого упоминания мы полагаем  $D = 0$ ) можно представить, согласно классификации [17], как сумму рэлеевского (с дельтаобразным спектром) и спонтанного рассеяния (соответственно несмещенное и смещенное рассеяния по [12]), относительная интенсивность которых зависит от амплитуды  $\Omega_1$ . При малых  $\Omega_1$  рассеяние преимущественно имеет рэлеевский, а при больших  $\Omega_1$  — спонтанный характер (рис. 3). Здесь подразумевается,

что спонтанное излучение в отличие от элементарного его проявления в модели Вайскопфа–Вигнера отражает когерентную динамику квантовой системы в сильных полях. В пределе больших  $\Omega_1$  спонтанная часть спектра имеет специфическую (триплетную) форму с расстоянием между линиями  $2\Omega_1$  и соотношением ширин центральной линии и линии-спутника 1:1.5 (рис. 4, *a*).

Если основное состояние двухуровневой схемы связать с третьим уровнем (с уровнем 2 на рис. 1) посредством когерентного поля, т.е. положить  $\Omega_0 \neq 0$ , приходим к известной в оптике V-схеме, впервые изученной в [8]. Наиболее интересным с точки зрения оптики был случай  $\Omega_1 > 1$ . В этом случае спектр рассеяния имеет в основном спонтанную природу и представляет собой также триплет с расстоянием между компонентами, равным удвоенной эффективной частоте Раби  $\Omega = \sqrt{\Omega_1^2 + \Omega_0^2}$ . Удивительный результат [8] состоит в обнаружении аномального сужения спектра спонтан-



**Рис. 3.** Зависимость отношения интенсивности рэлеевского рассеяния  $\sigma_r$  к интенсивности спонтанного рассеяния  $\sigma_s$  от  $\Omega_1$  в двухуровневом приближении (вычислена по формулам из [17]).



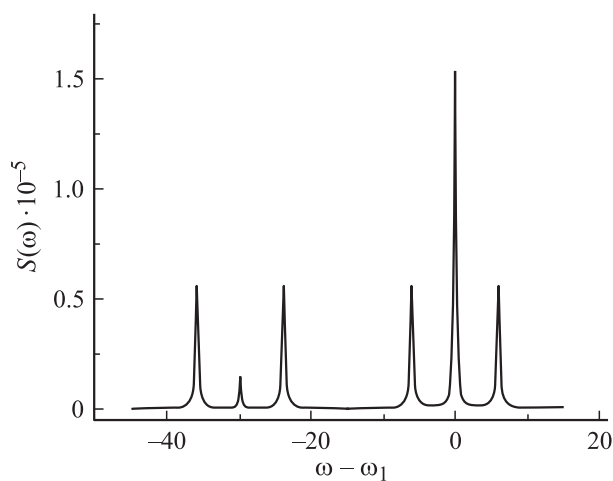
**Рис. 4.** Спектры спонтанного рассеяния (переход  $3-1$ ) в случае двухуровневого приближения ( $\Omega_1 = 3$ ,  $D = 0$ ,  $W_{31} = 1$ ,  $W_{32} = 0$ ,  $W_{12} = 0$ ,  $\Omega_0 = 0$ ) (a) и трехуровневой V-схемы ( $\Omega_1 = 1$ ,  $\Omega_0 = 3$ ,  $\Delta_{13} = \Delta_{12} = 0$ ,  $W_{31} = 1$ ,  $W_{32} = 0$ ,  $W_{21} = 0.1$ ,  $W_{12} = 0$ ,  $D = 0$ ) (b).

ного излучения на переходе  $3-1$ , если состояние 2 характеризуется существенно меньшей константой распада, чем состояние 3, и  $\Omega_0 \gg \Omega_1$ . Это явление было интерпретировано [8] как подавление влияния флуктуаций вакуума на ширину линии перехода  $3-1$  (заметим, что соотношение ширин линий триплета в этом случае также равно 1:1.5, если  $W_{32} = 0$  (рис. 4, b), но при  $W_{32} \neq 0$  это соотношение уже не выполняется [8]). Сужение линий, обнаруженное численным методом, было объяснено в рамках метода „одетых“ состояний [8]. Этот анализ применим и для случая  $\Omega_1 \ll 1$  при условии, что  $\Omega$  много больше константы распада  $W_{31} = 1$ . Однако случай  $\Omega_1 \ll 1$  не столь интересен, поскольку при этом большая часть интенсивности рассеяния приходится на рэлеевский тип (рис. 3), а триплетная структура, которая изучалась в [8], описывает спонтанную часть рассеяния.

При анализе рассеяния гамма-излучения естественно в первую очередь рассмотреть случай малых  $\Omega_1$ , когда рассеяние на переходах  $3-1$  и  $3-2$  содержит ничтожную долю спонтанного рассеяния. Форма спектров этих переходов также представляет собой триплет (рис. 5) с расстоянием между компонентами  $2\Omega$  и соотношением их ширин 1:1.5. Значения ширин этих линий определяются значением  $W_{21}$  и могут быть заметно меньше  $W_{31}$ . Однако этот триплет не результат сужения спонтанного спектра, как в случае [8], а является следствием уширения рэлеевской составляющей. Уширение дельтаобразного спектра в отличие от [16] происходит вследствие неопределенности энергии состояния 2 ( $W_{21}$ ) (спонтанное комбинационное рассеяние  $1-3-2$ ) и конечной ширины уровня 1 (благодаря резонансной связи  $1-2$ ). Что касается спонтанного комбинационного рассеяния, то оно имеет конечную ширину ( $W_{21}$ ) и в том случае, когда  $\Omega_0 = 0$ .

При  $D \neq 0$  происходит дополнительное уширение линий триплета, и соотношение 1:1.5 для их интенсивностей нарушается. Отличие  $D$  от нуля означает также нарушение когерентности накачки; это обуславливает появление в спектре (на фоне триплета) дублета лоренцианов естественной ширины по механизму формирования спектра на рис. 2, b (как это показано на рис. 2, a).

Итак, в данной статье в развитие работ [7,18,19] предложена модель резонансной флуоресценции гамма-излучения с конечной шириной линии, когда подуровни ядра связаны сильным полем. Спектр рассеяния в таком режиме имеет структуру, обусловленную, с одной стороны, образованием „одетых“ состояний в системе ядерных подуровней, а с другой — конечной шириной линии накачки. Результаты настоящей работы и [7] указывают на возможность исследования эффектов сильного поля в твердых телах, в том числе эффектов квантовой интерференции в гамма-диапазоне, методами традиционной мессбауэровской спектроскопии.



**Рис. 5.** Спектр резонансного рассеяния при малой интенсивности поля накачки.  $\Omega_1 = 0.01$ ,  $\Omega_0 = 3$ ,  $\Delta_{13} = \Delta_{12} = 0$ ,  $W_{31} = W_{32} = 1$ ,  $W_{21} = 0.3$ ,  $D = 0$ ,  $W_{12} = 0$ .

## Список литературы

- [1] J.K. Srivastava. *Advances in Mossbauer Spectroscopy*. Elsevier, Amsterdam (1983). 761 p.
- [2] E.K. Sadykov, A.G. Isavnin, A.I. Skvortsov. *Hyp. Interact.* **107**, 257 (1997).
- [3] R. Coussment, M. Van den Bergh, G. S'heeren, G. Neyens, R. Nouwen, P. Bolchand. *Phys. Rev. Lett.* **71**, 12, 1824 (1993).
- [4] O.A. Kocharovskaya, R.L. Kolesov, Yu.V. Rostovtsev. *Phys. Rev. Lett.* **82**, 23, 3593 (1999).
- [5] R.N. Shakhmuratov, A. Szabo, G. Kozyreff, R. Coussment, J. Odeurs, P. Mandel. *Phys. Rev. A* **62**, 043 405 (2000).
- [6] E.K. Sadykov, L.L. Zakirov, A.A. Yurichuk. *Laser Phys.* **11**, 3, 409 (2001).
- [7] Э.К. Садыков, Л.Л. Закиров, А.А. Юричук, В.В. Аринин. *ФТТ* **44**, 8, 1439 (2002).
- [8] L.M. Narducci, M.O. Scully, G.-L. Oppo, P. Ru, J.R. Tredicce. *Phys. Rev. A* **42**, 3, 1630 (1990).
- [9] A.S. Manka, H.M. Doss, L.M. Narducci, P. Ru, G.-L. Oppo. *Phys. Rev. A* **43**, 7, 3748 (1991).
- [10] J. Gea-Banacloche, M.S. Zubairy. *Phys. Rev. A* **42**, 3, 1742 (1990).
- [11] A.H. Toor, S.-Y. Zhu, M.S. Zubairy. *Phys. Rev. A* **52**, 6, 4803 (1995).
- [12] Н.Б. Делоне, В.П. Крайнов. *Атом в сильном световом поле*. Атомиздат, М. (1978). 287 с.
- [13] D.J. Gauthier, Y. Zhu, T.W. Mossberg. *Phys. Rev. Lett.* **66**, 19, 2460 (1991).
- [14] S.-Y. Zhu, L.M. Narducci, M.O. Scully. *Phys. Rev. A* **52**, 6, 4791 (1995).
- [15] А.М. Артемьев, Г.В. Смирнов, Е.П. Степанов. *ЖЭТФ* **54**, 3, 1028 (1968).
- [16] B.R. Mollow. *Phys. Rev.* **188**, 5, 1969 (1969).
- [17] M.O. Scully, M.S. Zubairy. *Quantum Optics*. Cambridge Univ. Press (1997).
- [18] Sh.Sh. Bashkirov, A.L. Beljanin, E.K. Sadykov. *Phys. Stat. Sol. (b)* **93**, 2, 437 (1979).
- [19] A.V. Mitin. *Phys. Lett. A* **84**, 5, 283 (1981).